

AD 180 S

Elektrische Eigenschaften**Electrical properties****Höchstzulässige Werte****Maximum rated values**

Periodische Vorwärts-Spitzensperrspannung	repetitive peak forward off-state voltage	$t_{vj} = -40^\circ\text{C} \dots t_{vj \max}$	V_{DRM}	800, 1000	V
Vorwärts-Stoßspitzenspannung	non repetitive peak forward off-state voltage	$t_{vj} = -40^\circ\text{C} \dots t_{vj \max}$	$V_{DSM} = V_{DRM}$	1100, 1200	V
Periodische Rückwärts-Spitzensperrspannung	repetitive peak reverse voltage	$t_{vj} = -40^\circ\text{C} \dots t_{vj \max}$	V_{RRM}	15	V ¹⁾
Periodische Rückwärts-Spitzensperrspannung nach der Kommutierung	repetitive peak reverse voltage after commutation	$t_{vj} = -40^\circ\text{C} \dots t_{vj \max}, t_p = 1\mu\text{s}$	$V_{RRM(C)}$	50	V ¹⁾
Durchlaßstrom-Grenzeffektivwert Dauergrenzstrom	RMS on-state current average on-state current	$t_C = 85^\circ\text{C}$ $t_C = 73^\circ\text{C}$	I_{TRMSM}	350	A
Stoßstrom-Grenzwert	surge current	$t_{vj} = 25^\circ\text{C}, t_p = 10\text{ ms}$ $t_{vj} = t_{vj \max}, t_p = 10\text{ ms}$	I_{TAVM}	180	A
Grenzlastintegral	$\int i^2 dt$ -value	$t_{vj} = 25^\circ\text{C}, t_p = 10\text{ ms}$ $t_{vj} = t_{vj \max}, t_p = 10\text{ ms}$	I_{TSM}	223	A
Kritische Stromsteilheit	critical rate of rise of on-state current	$v_D \leq 67\%$ V_{DRM} , $f_0 = 50\text{ Hz}$ $i_{GM} = 1,2\text{ A}, di_G/dt = 1,2\text{ A}/\mu\text{s}$	$\int i^2 dt$	5400	A
Kritische Spannungssteilheit	critical rate of rise of off-state voltage	$t_{vj} = t_{vj \max}, v_D = 67\% V_{DRM}$ 6. Kennbuchstabe/6th letter C	$(di/dt)_{cr}$	4800	A ² s
		6. Kennbuchstabe/6th letter F	$(dv/dt)_{cr}$	115000	A ² s
				500	A/ μs
				500	V/ μs
				1000	V/ μs

Charakteristische Werte**Characteristic values**

Durchlaßspannung	on-state voltage	$t_{vj} = t_{vj \max}, i_T = 600\text{ A}$	V_T	max.	1,9	V
Schleusenspannung	threshold voltage	$t_{vj} = t_{vj \max}$	$V_{T(TO)}$		1,3	V
Ersatzwiderstand	slope resistance	$t_{vj} = t_{vj \max}$	r_T		0,9	m Ω
Zündstrom	gate trigger current	$t_{vj} = 25^\circ\text{C}, v_D = 12\text{ V}$	I_{GT}	max.	300	mA
Zündspannung	gate trigger voltage	$t_{vj} = 25^\circ\text{C}, v_D = 12\text{ V}$	V_{GT}	max.	2,7	V
Nicht zündender Steuerstrom	gate non trigger current	$t_{vj} = t_{vj \max}, v_D = 12\text{ V}$	I_{GD}	max.	10	mA
Nicht zündende Steuerspannung	gate non trigger voltage	$t_{vj} = t_{vj \max}, v_D = 0,5 V_{DRM}$	V_{GD}	max.	0,25	V
Haltestrom	holding current	$t_{vj} = 25^\circ\text{C}, v_D = 12\text{ V}, R_A = 10\Omega$	I_H	max.	300	mA
Einraststrom	latching current	$t_{vj} = 25^\circ\text{C}, v_D = 12\text{ V}, R_{GK} \geq 20\Omega$ $i_{GM} = 1,2\text{ A}, di_G/dt = 1,2\text{ A}/\mu\text{s}, t_g = 20\mu\text{s}$	I_L	max.	1200	mA
Vorwärts- und Rückwärts-Sperrstrom	forward off-state and reverse currents	$t_{vj} = t_{vj \max}, v_D = V_{DRM}, V_R = V_{RRM}$	i_D, i_R	max.	50	mA ¹⁾
Zündverzug	gate controlled delay time	$t_{vj} = 25^\circ\text{C}, i_{GM} = 1,2\text{ A}, di_G/dt = 1,2\text{ A}/\mu\text{s}$	t_{gd}	max.	1,4	μs
Freiwerdezeit	circuit commutated turn-off time	siehe Techn. Erl./see Techn. Inf.	t_q	A:	max.	8 μs
				B:	max.	10 μs
				C:	max.	12 μs
				D:	max.	15 μs
Isolations-Prüfspannung	insulation test voltage	RMS, f = 50 Hz, t = 1 min	V_{ISOL}		3	kV

Thermische Eigenschaften**Thermal properties**

Innerer Wärmewiderstand	thermal resistance, junction to case	$\Theta = 180^\circ\text{el}$, sinus: pro Modul/per module DC: pro Zweig/per arm	R_{thJC}	max.	0,065°C/W
				max.	0,130°C/W
				max.	0,062°C/W
				max.	0,124°C/W
Übergangs-Wärmewiderstand	thermal resistance, case to heatsink	pro Modul/per module pro Zweig/per arm	R_{thCK}	max.	0,02 °C/W
				max.	0,04 °C/W
Höchstzul. Sperrsichttemperatur	max. junction temperature		$t_{vj \max}$		125°C
Betriebstemperatur	operating temperature		$t_c op$		-40°C ... +125°C
Lagertemperatur	storage temperature		t_{stg}		-40°C ... +130°C

Mechanische Eigenschaften**Mechanical properties**

Si-Elemente mit Druckkontakt	Si-pellets with pressure contact				AIN
Innere Isolation	internal insulation				
Anzugsdrehmomente	tightening torques				
mechanische Befestigung	mounting torque	Toleranz/tolerance $\pm 15\%$	M1		6 Nm
elektrische Anschlüsse	terminal connection torque	Toleranz/tolerance + 5%/-10%	M2		12 Nm
Gewicht	weight		G		typ. 750 g
Kriechstrecke	creepage distance	$f = 50\text{ Hz}$			17 mm
Schwingfestigkeit	vibration resistance				5 · 9,81 m/s ²
Maßbild	outline				8

1) Wegen innerer Verbindung mit der Diode nicht am Baustein nachprüfbar/Cannot be checked at the module because of internal connection to the diode

Daten der Dioden nach vereinbarter Spezifikation oder auf Anfrage

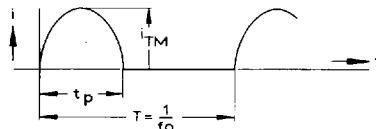
Data of the diode according to specification or on request

Recognized by UNDERWRITERS LABORATORIES INC.

AD 180 S

Bild/Fig. 1, 2, 3
Höchstzulässige Strombelastbarkeit des Thyristors in Abhängigkeit von der Halbschwingungsdauer bei:
sinustönigem Stromverlauf,
der angegebenen Gehäusetemperatur t_C ,
Vorwärts-Sperrspannung $V_{DM} \leq 0.67 V_{DRM}$,
Freiwerdezeit t_q gemäß 5. Kennbuchstaben,
Spannungssteilheit dv_D/dt gemäß 6. Kennbuchstaben.

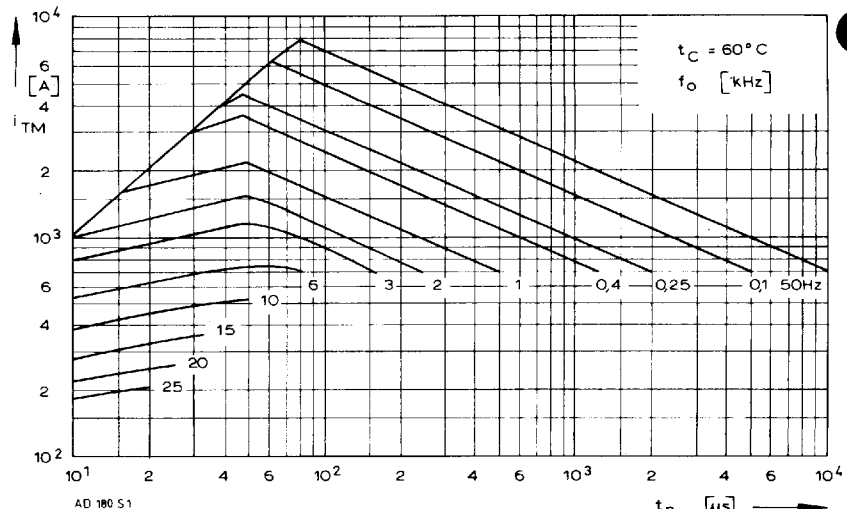
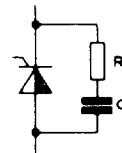
Maximum allowable on-state current of thyristor versus halfwave duration at:
sinusoidal current waveform,
given case temperature t_C ,
forward off-state voltage $V_{DM} \leq 0.67 V_{DRM}$,
circuit commutated turn-off time t_q according to 5th code letter,
rate of rise of voltage dv_D/dt according to 6th code letter.



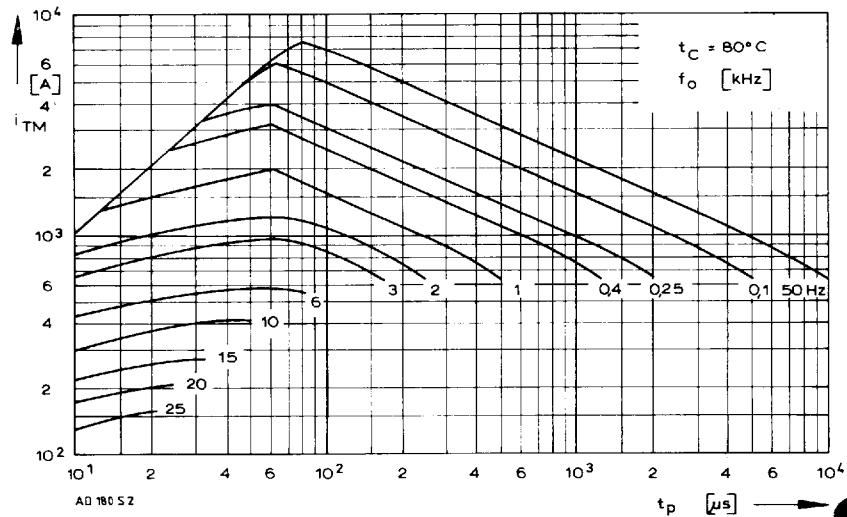
Parameter: Wiederholfrequenz f_0
Repetition rate f_0

Steuergenerator/Pulse generator:
i_G = 2,4 A, t_a = 1 μs

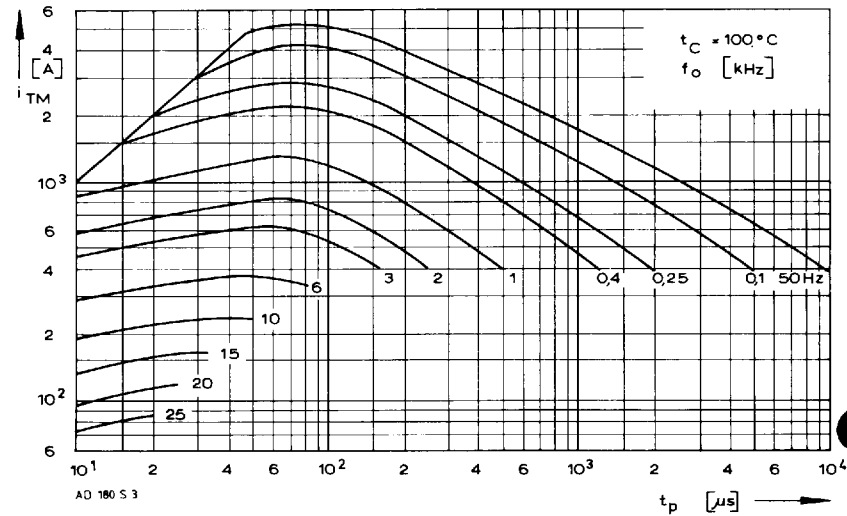
RC-Glied/RC network:
R |Ω| ≥ 0,02 · V_{DM} / V
C ≤ 0,22 μF



Bild/Fig. 1



Bild/Fig. 2

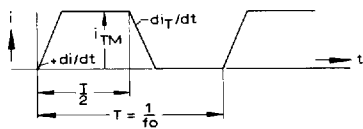


Bild/Fig. 3

AD 180 S

Bild/Fig. 4, 5, 6
Höchstzulässige Strombelastbarkeit des Thyristors in Abhängigkeit von der Stromsteilheit bei:
trapezförmigem Stromverlauf,
der angegebenen Gehäusetemperatur t_C ,
Vorwärts-Sperrspannung $V_{DM} \leq 0.67 V_{DRM}$,
Freiwerdezeit t_a gemäß 5. Kennbuchstaben,
Spannungssteilheit dv_D/dt gemäß 6. Kennbuchstaben.

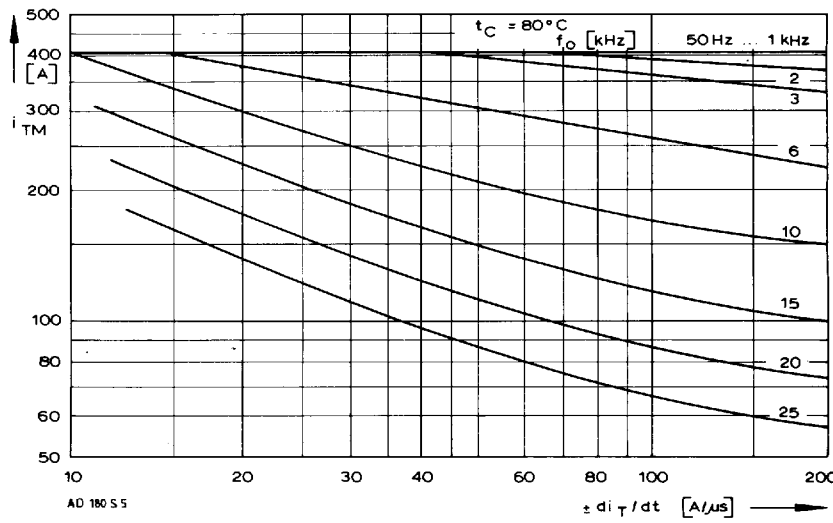
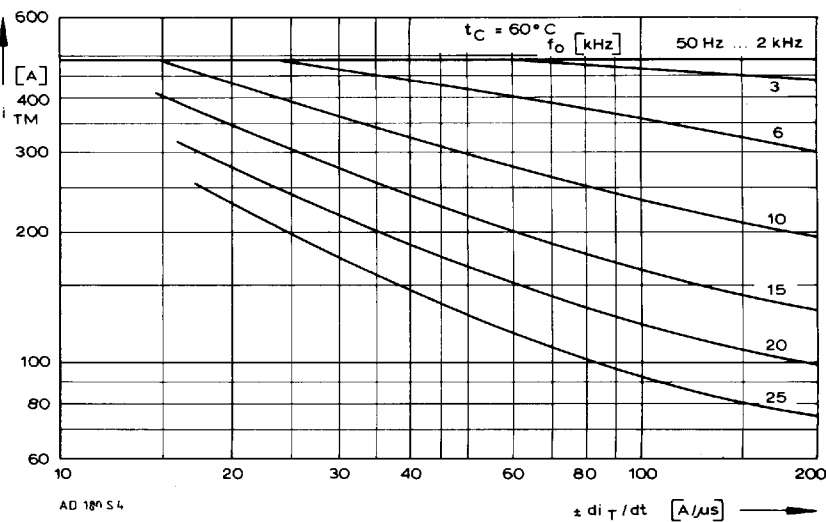
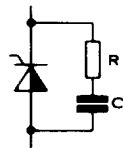
Maximum allowable on-state current of thyristor versus rate of rise of current at:
trapezoidal current waveform,
given case temperature t_C ,
forward off-state voltage $V_{DM} \leq 0.67 V_{DRM}$,
circuit commutated turn-off time t_a according to 5th code letter,
rate of rise of voltage dv_D/dt according to 6th code letter.



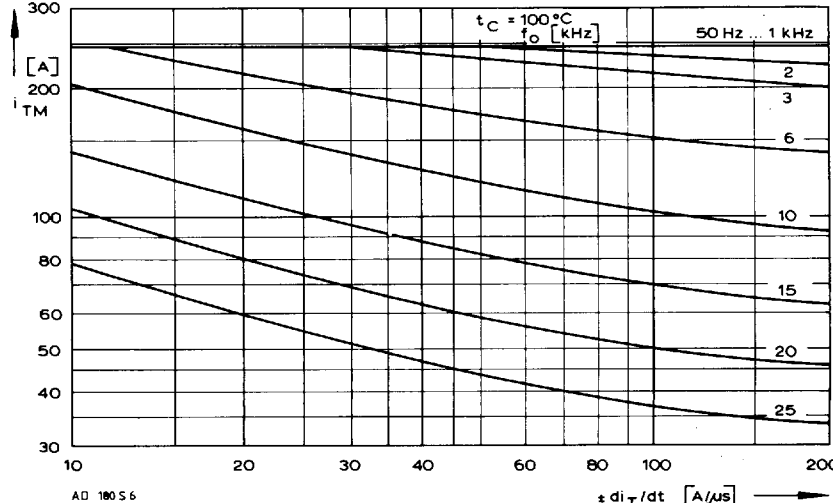
Parameter: Wiederholfrequenz f_0
Repetition rate f_0

Steuergenerator/Pulse generator:
i_G = 2,4 A, t_a = 1 μs

RC-Glied/RC network:
R [Ω] $\geq 0,02 \cdot V_{DM}$ [V]
C $\leq 0,33 \mu F$



Bild/Fig. 5



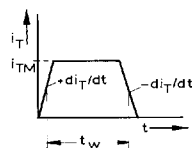
Bild/Fig. 6

AD 180 S

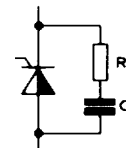
Bild/Fig. 7, 8, 9

Diagramme zur Ermittlung der Gesamtenergie W_{tot} des Thyristors für einen trapezförmigen Durchlaß-Strompuls bei:
der angegebenen Stromsteilheit $\frac{di_T}{dt}$,
Vorwärts-Sperrspannung $v_{\text{DM}} \leq 0.67 V_{\text{DRM}}$,
Rückwärts-Sperrspannung $v_{\text{RM}} \leq 15 \text{ V}$.

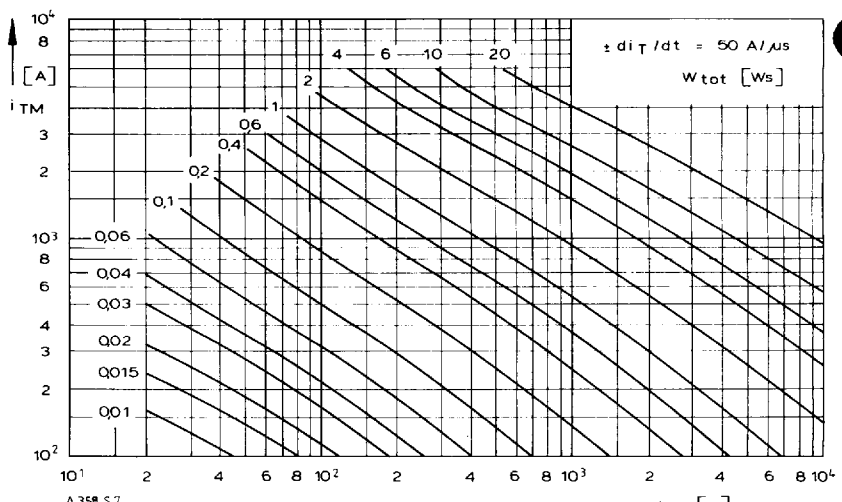
Diagram for the determination of the total energy W_{tot} of the thyristor for a trapezoidal current pulse at:
given rate of rise of on-state current $\frac{di_T}{dt}$,
forward off-state voltage $v_{\text{DM}} \leq 0.67 V_{\text{DRM}}$,
reverse voltage $v_{\text{RM}} \leq 15 \text{ V}$.



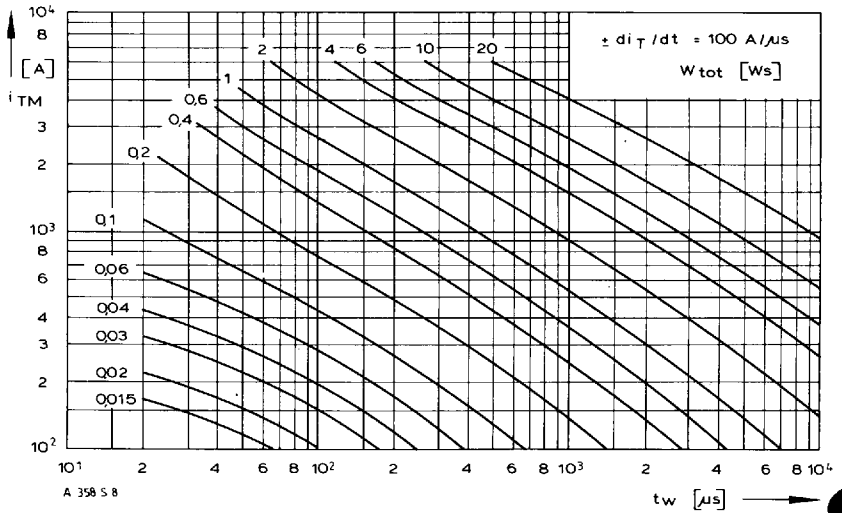
Steuergenerator/Pulse generator:
 $i_g = 2.4 \text{ A}$, $t_a = 1 \mu\text{s}$



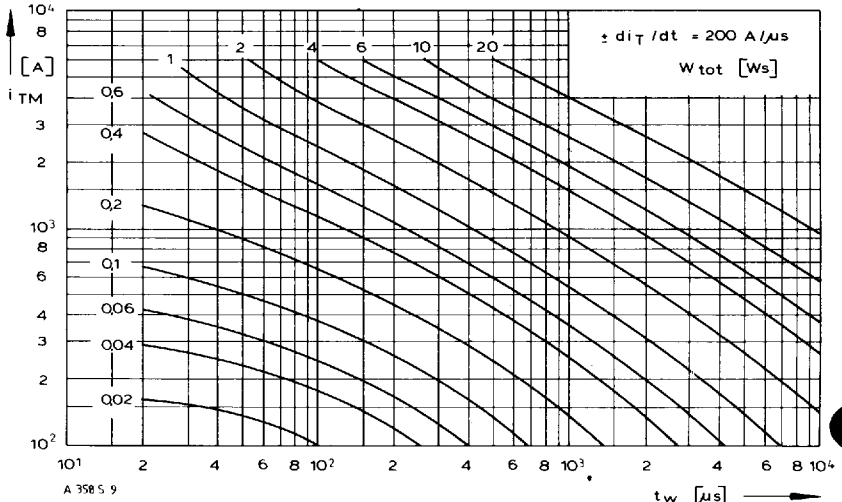
RC-Glied/RC network:
 $R [\Omega] \geq 0.02 \cdot v_{\text{DM}} [\text{V}]$
 $C \leq 0.33 \mu\text{F}$



Bild/Fig. 7



Bild/Fig. 8



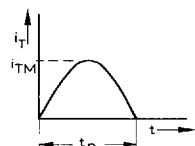
Bild/Fig. 9

AD 180 S

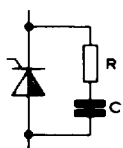
Bild/Fig. 10

Diagramm zur Ermittlung der Gesamtenergie W_{tot} des Thyristors für einen sinusförmigen Durchlaß-Stromspuls.
Diagram for the determination of the total energy W_{tot} of the thyristor for a sinusoidal on-state current pulse.

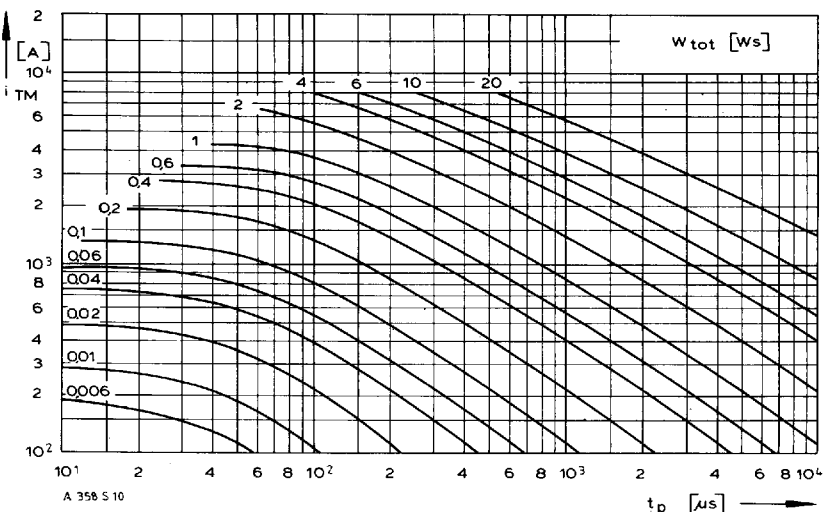
Lastkreis/Load circuit:
 $V_{\text{DM}} \leq 0,67 V_{\text{DRM}}$,
 $V_{\text{RM}} \leq 15 \text{ V}$



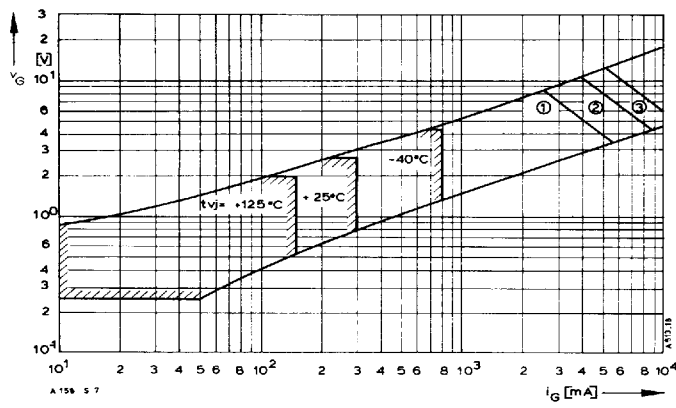
Steuergenerator/Pulse generator:
 $i_g = 2,4 \text{ A}$, $t_a = 1 \mu\text{s}$



RC-Glied/RC network:
 $R [\Omega] \geq 0,02 \cdot V_{\text{DRM}} [\text{V}]$
 $C \leq 0,22 \mu\text{F}$



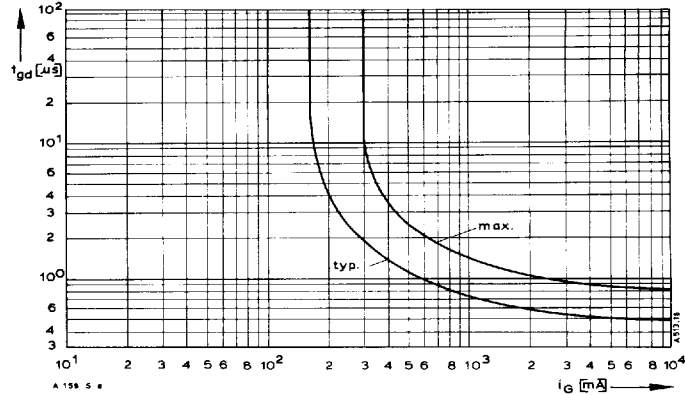
Bild/Fig. 10



Bild/Fig. 11

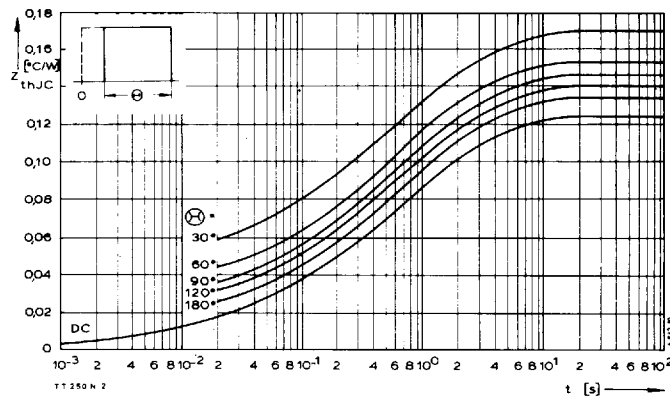
Zündbereich und Spitzensteuerleistung bei $v_D = 6 \text{ V}$.
Gate characteristic and peak gate power dissipation at $v_D = 6 \text{ V}$.

Parameter:	a	b	c
Steuerimpulsdauer/Pulse duration t_g [ms]	10	1	0,5
Höchstzulässige Spitzensteuerleistung/ Maximum allowable peak gate power [W]	20	40	60



Bild/Fig. 12

Zündverzug/Gate controlled delay time t_{gd} ,
DIN 41787, $t_a = 1 \mu\text{s}$, $v_j = 25^\circ\text{C}$.



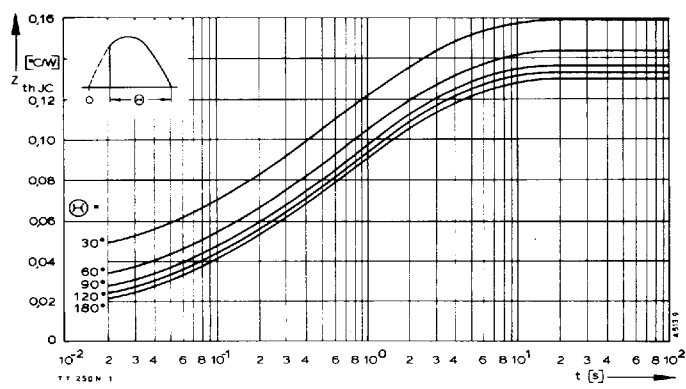
Bild/Fig. 14

Transienter innerer Wärmewiderstand je Zweig $Z_{(\text{th})\text{JC}}$.
Transient thermal impedance, junction to case, per arm $Z_{(\text{th})\text{JC}}$.

Pos. n	1	2	3	4	5
$R_{\text{thn}} [\text{°C}/\text{W}]$	0,0031	0,0097	0,0257	0,0429	0,0426
$\tau_n [\text{s}]$	0,0009	0,008	0,011	0,61	3,06

$$Z_{\text{thJC}} = \sum_{n=1}^{n_{\text{max}}} R_{\text{thn}} (1 - e^{-t/\tau_n})$$

Transienter Wärmewiderstand $Z_{(\text{th})\text{JC}}$ pro Zweig für DC.
Transient thermal impedance Z_{thJC} per arm for DC.



Bild/Fig. 13

Transienter innerer Wärmewiderstand Z_{thJC} des Thyristors.
Transient thermal impedance Z_{thJC} of the thyristor, junction to case.